

01;07

О геометрических aberrациях рентгеновского пучка при его лауэвском дифракционном отражении в схеме Кошуа

© Т. Чен

Московская государственная академия тонкой химической технологии им. М.В. Ломоносова,
117571 Москва, Россия
e-mail: docent65@mtu-net.ru, physicist@rambler.ru

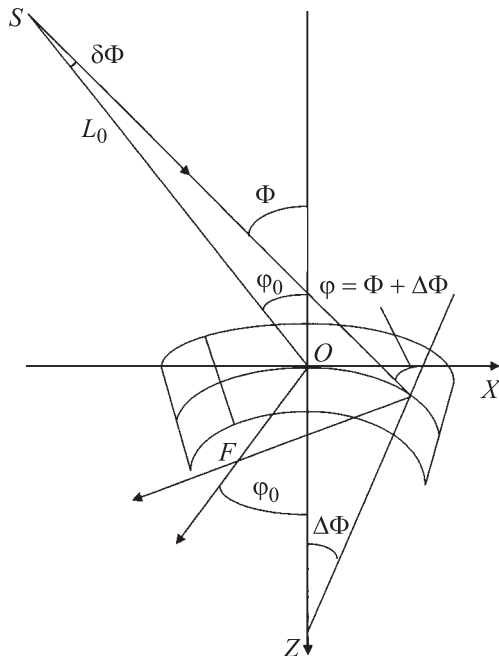
(Поступило в Редакцию 10 октября 2006 г.)

На основе геометрических представлений о распространении рентгеновского излучения рассмотрены aberrации отраженных лучей в схеме Кошуа. Показано, что величина геометрических aberrаций может превышать ширину дельты Бормана, а также дифракционную ширину фокуса. Для уменьшения влияния aberrаций рекомендуется коллимировать пучок до определенного размера.

PACS: 78.70.Ck, 42.15.Fr

Схема Кошуа [1–3] является самой известной фокусирующей схемой в геометрии Лауэ. Сферическая волна от протяженного источника падает на изогнутый кристалл, обращенный выпуклой стороной к источнику, и фокусируется в точку, лежащую на круге Роуланда. Фокусировка рентгеновского излучения в схеме Кошуа имеет практическое приложение в рентгеновской и гамма-спектроскопии. Изогнутые кристалл-спектрометры с фокусировкой по Кошуа использовались для спектрального разложения рентгеновского и гамма-излучений [4–23].

Вопрос о влиянии геометрических aberrаций отраженных лучей на фокусировку по Кошуа практически не рассматривался в литературе. Можно предположить, что схема Кошуа не обеспечивает идеальной фокусировки.



Геометрия фокусировки сферической волны на изогнутом кристалле в схеме Кошуа. S — точечный источник рентгеновского излучения, F — фокус, $|SO| = L_0$, $|OF| = L_h$.

В настоящей статье мы детально исследуем этот вопрос. Кристалл будем считать тонким, т.е. многократным динамическим рассеянием внутри кристалла пренебрежем и траектории рентгеновских лучей принимаем прямыми линиями. Допустим также, что проекции смещения атомов вдоль осей x и z имеют следующий вид:

$$u_x = xz/R, \quad u_z \approx -x^2/2R, \quad (1)$$

где $R < 0$ — радиус изгиба кристалла в меридиональной плоскости.

Пусть сферическая волна исходит из источника S (см. рисунок), входящего в состав протяженного источника. Луч, падающий в центр кристалла, образует угол φ_0 с осью Z . Произвольный луч, падающий в точку с координатами $(x, z \approx -x^2/2R)$, после отражения кристаллом пересечется с дифрагированным лучом, соответствующим центральному падающему лучу, в точке с координатами (x_S, z_S) :

$$\begin{aligned} x_S &= -L_h \sin \varphi, & x_S^{(0)} &= -L_h^{(0)} \sin \varphi_0, \\ z_S &= L_h \cos \varphi, & z_S^{(0)} &= L_h^{(0)} \cos \varphi_0. \end{aligned} \quad (2)$$

Уравнение прямой, проходящей через точки (x, z) и (x_S, z_S) , запишем в виде

$$(x_S - x)/(z_S - z) = -\text{tg}(\varphi + \Delta\varphi), \quad (3)$$

где $\Delta\varphi = -x/R$, $z \approx u_z \approx -x^2/2R$.

Пусть $\Delta\varphi \ll \varphi$. Разложим tg в правой части (3) в ряд Тэйлора вблизи φ , ограничившись производными до четвертого порядка включительно. Тогда из уравнения (3) имеем

$$\begin{aligned} x_S - x &= -[\text{tg}\varphi + \Delta\varphi/\cos^2\varphi + (\Delta\varphi)^2 \sin\varphi/\cos^3\varphi \\ &+ (\Delta\varphi)^3(1 + 2\sin^2\varphi)/(3\cos^4\varphi) \\ &+ (\Delta\varphi)^4(2 + \sin^2\varphi)\sin\varphi/(3\cos^5\varphi)](z_S + x^2/2R). \end{aligned} \quad (4)$$

Из рисунка видно, что

$$\varphi = \varphi_0 + x(\cos\varphi_0/L_0 - 1/R). \quad (5)$$

Пусть $x/L_0 \ll \varphi_0$, $-x/R \ll \varphi_0$.

Разложим $\operatorname{tg} \varphi$ в ряд по степеням x вблизи $\operatorname{tg} \varphi_0$ до четвертой степени включительно

$$\begin{aligned} \operatorname{tg} \varphi &\cong \operatorname{tg} \varphi_0 + x(\cos \varphi_0/L_0 - 1/R)/\cos^2 \varphi_0 \\ &+ x^2(\cos \varphi_0/L_0 - 1/R)^2 \sin \varphi_0/\cos^3 \varphi_0 \\ &+ x^3(\cos \varphi_0/L_0 - 1/R)^3(1 + 2 \sin^2 \varphi_0)/(3 \cos^4 \varphi_0) \\ &+ x^4(\cos \varphi_0/L_0 - 1/R)^4(2 + \sin^2 \varphi_0) \sin \varphi_0/(3 \cos^5 \varphi_0). \end{aligned} \quad (6)$$

Аналогичным образом разложим $\sin \varphi$ и $\cos \varphi$

$$\begin{aligned} \sin \varphi &\cong \sin \varphi_0 + x \cos \varphi_0(\cos \varphi_0/L - 1/R) \\ &- x^2(\cos \varphi_0/L_0 - 1/R)^2 \sin \varphi_0/2 \\ &- x^3(\cos \varphi_0/L_0 - 1/R)^3 \cos \varphi_0/6 \\ &+ x^4(\cos \varphi_0/L_0 - 1/R)^4 \sin \varphi_0/24. \end{aligned}$$

$$\begin{aligned} \cos \varphi &\cong \cos \varphi_0 - x \sin \varphi_0(\cos \varphi_0/L_0 - 1/R) \\ &- x^2(\cos \varphi_0/L_0 - 1/R)^2 \cos \varphi_0/2 \\ &+ x^3(\cos \varphi_0/L_0 - 1/R)^3 \sin \varphi_0/6 \\ &+ x^4(\cos \varphi_0/L_0 - 1/R)^4 \cos \varphi_0/24. \end{aligned} \quad (7)$$

Разложим также $\Delta\Phi$ со степенями от первой до четвертой в ряд по x :

$$\begin{aligned} \Delta\Phi/\cos^2 \varphi &\cong -x/(R \cos^2 \varphi) \\ &\times \{1 + 2x \operatorname{tg} \varphi_0(\cos \varphi_0/L_0 - 1/R) \\ &+ x^2(\cos \varphi_0/L_0 - 1/R)^2(1 + 2 \sin^2 \varphi_0)/\cos^2 \varphi_0 \\ &+ x^3(\cos \varphi_0/L_0 - 1/R)^3(8 \operatorname{tg}^3 \varphi_0 - 4 \operatorname{tg} \varphi_0/3)\} \\ &+ x^4(\cos \varphi_0/L_0 - 1/R)^4(\operatorname{tg}^4 \varphi_0 + \operatorname{tg}^2 \varphi_0/3 - 1/3). \end{aligned} \quad (8)$$

$$\begin{aligned} (\Delta\Phi)^2 \sin \varphi/\cos^3 \varphi &\cong x^2\{1 + x(3 \operatorname{tg} \varphi_0 + \operatorname{ctg} \varphi_0) \\ &\times (\cos \varphi_0/L_0 - 1/R) + x^2(4 + 6 \operatorname{tg}^2 \varphi_0) \\ &\times (\cos \varphi_0/L_0 - 1/R)^2\} \sin \varphi_0/(R^2 \cos^3 \varphi_0). \end{aligned} \quad (9)$$

$$\begin{aligned} (\Delta\Phi)^3(1 + 2 \sin^2 \varphi)/(3 \cos^4 \varphi) &\cong -x^3/(3R^3 \cos^4 \varphi_0) \\ &\times \{1 + 2 \sin^2 \varphi_0 + x(\cos \varphi_0/L_0 - 1/R) \\ &\times (8 \sin^2 \varphi_0 \operatorname{tg} \varphi_0 + 2 \sin(2\varphi_0) + 4 \operatorname{tg} \varphi_0)\}. \end{aligned} \quad (10)$$

$$\begin{aligned} (\Delta\Phi)^4(2 + \sin^2 \varphi) \sin \varphi/(3 \cos^5 \varphi) \\ \cong x^4(2 + \sin^2 \varphi_0) \sin \varphi_0/(3R^4 \cos^5 \varphi_0). \end{aligned} \quad (11)$$

С учетом (8)–(11) получаем координату x_S :

$$\begin{aligned} x_S &= x(1 + z_S/(L_0 \cos \varphi_0)) + x^2\{\operatorname{tg} \varphi_0/(2R) \\ &+ z_S(1/L_0^2 - 2/(R^2 \cos^2 \varphi_0)) \operatorname{tg} \varphi_0\} \\ &+ x^3[\cos \varphi_0/(2L_0R \cos^2 \varphi_0) \\ &+ (\cos \varphi_0/L_0 - 1/R)^3(1 + 2 \sin^2 \varphi_0)z_S/(3 \cos^4 \varphi_0) \\ &+ (\cos \varphi_0/L_0 - 1/R^2)(1 + 2 \sin^2 \varphi_0)z_S/(R \cos^4 \varphi_0) \\ &+ (1 + 2 \sin^2 \varphi_0)z_S/(3R^3 \cos^4 \varphi_0) \\ &- z_S(\cos \varphi_0/L_0 - 1/R) \\ &\times (3 \operatorname{tg} \varphi_0 + \operatorname{ctg} \varphi_0) \sin \varphi_0/(R^2 \cos^3 \varphi_0)] \\ &+ x^4[(2 + \sin^2 \varphi_0)z_S(\sin \varphi_0/L_0 - 1/R) \\ &\times (3 \operatorname{tg} \varphi_0 + \operatorname{ctg} \varphi_0) \sin \varphi_0/(R^2 \cos^3 \varphi_0)] \\ &+ x^4[(2 + \sin^2 \varphi_0)z_S \sin \varphi_0(\cos \varphi_0/L_0 - 1/R)^4/(3 \cos^5 \varphi_0) \\ &+ (\cos \varphi_0/L_0 - 1/R)^3(8 \operatorname{tg}^3 \varphi_0 - 4 \operatorname{tg} \varphi_0/3)z_S/(R \cos^2 \varphi_0) \\ &- (\cos \varphi_0/L_0 - 1/R)^2(4 + 6 \operatorname{tg}^2 \varphi_0)z_S \sin \varphi_0/(R^2 \cos^3 \varphi_0) \\ &+ (\cos \varphi_0/L_0 - 1/R)^2 \sin \varphi_0/(2R \cos^3 \varphi_0) \\ &+ 2z_S(\cos \varphi_0/L_0 - 1/R)(2 \operatorname{tg} \varphi_0 \\ &+ 4 \sin^2 \varphi_0 \operatorname{tg} \varphi_0 + \sin(2\varphi_0))/(3R^3 \cos^4 \varphi_0) \\ &+ (\cos \varphi_0/L_0 - 1/R) \operatorname{tg} \varphi_0/(R^2 \cos^2 \varphi_0) \\ &- (2 + \sin^2 \varphi_0)z_S \sin \varphi_0/(3R^4 \cos^5 \varphi_0)]. \end{aligned} \quad (12)$$

Из (12) видно, что при $L_0 = R \cos \varphi_0$ (т.е. мнимый источник лежит на круге Роуланда) величина aberrаций много меньше

$$\begin{aligned} x_S &= -z_S \operatorname{tg} \varphi_0 + x(1 + z_S/(R \cos^2 \varphi_0)) \\ &- x^2(z_S \sin \varphi_0/(R^2 \cos^3 \varphi_0) - \operatorname{tg} \varphi_0/(2R)) \\ &+ x^3(1/(2R^2 \cos^2 \varphi_0) \\ &+ z_S(1 + 2 \sin^2 \varphi_0)/(3R^3 \cos^4 \varphi_0)) \\ &- x^4z_S \sin \varphi_0(2 + \sin^2 \varphi_0)/(3R^4 \cos^5 \varphi_0). \end{aligned} \quad (13)$$

Линейные по x aberrации отсутствуют, если $z_S = L_h^{(0)} \cos \varphi_0 = -R \cos^2 \varphi_0$, т.е. в схеме Кошуа. Величина квадратичных aberrаций $\approx -\operatorname{tg} \varphi_0 x^2/(2R)$. Пусть $x \sim 10^{-3}$ м, $R \sim 1$ м, тогда квадратичные aberrации имеют величину $\approx -10^{-6}$ м $\cdot \operatorname{tg} \varphi_0/2$. Ширина дельты Боррмана $\Delta \cong 2t \operatorname{tg} \varphi_0$. Для кристаллов толщиной $t \geq 10 \mu\text{м}$ значением квадратичных aberrаций можно пренебречь. Однако для $x \sim 10^{-2}$ м величина aberrаций возрастает на два порядка и может быть сравнима с Δ ,

а также с дифракционным уширением изображения источника. Например, для симметричного (220)-отражения CuK_α -излучения от кристалла кремния, изогнутого с радиусом изгиба $R \sim 1$ м, дифракционная ширина фокуса равна $\Delta x_F \sim 5 \cdot 10^{-6}$ м [8], а абберационное уширение составляет величину $\approx 2.5 \cdot 10^{-5}$ м.

Таким образом, для уменьшения влияния аббераций необходимо коллимировать пучок до размера $\sim 10^{-3}$ м.

В заключение отметим, что в настоящей работе были рассмотрены геометрические абберации при кинематическом лауэвском отражении рентгеновской волны в тонком кристалле. Однако аналогичным образом могут быть проанализированы абберации в толстом „динамическом“ изогнутом кристалле, отражающие плоскости которого совпадают с нормальными поперечными сечениями и образуют веер. В этом случае траектории лучей внутри кристалла будут прямолинейными.

Список литературы

- [1] *Cauchois Y.* // J. Phys. Rad. 1932. Vol. 3. P. 320–336.
- [2] *Cauchois Y.* // Comp. Rend. Acad. Sci. ПИВ. 1932. Vol. 194. P. 362–365.
- [3] *Cauchois Y.* // Ann. Phys. 1934. Vol. 1. P. 215–266.
- [4] *Лукирский П.И., Сумбаев О.И.* // Изв. АН СССР. Сер. Физ. 1956. Т. 20. С. 903.
- [5] *Kasi A.H., Rasmussen N.C., Mark H.* // Rev. Sci. Instr. 1960. Vol. 31. P. 983–987.
- [6] *Sumbaev O.I., Smirnov A.I.* // Nucl. Instr. and Meth. 1963. Vol. 22. P. 125–137.
- [7] *Тонис А.В., Самсонов В.М., Сумбаев О.И.* Кристалл-дифракционный спектрометр для измерения химических смещений рентгеновских линий L-серии актинидов. Препринт ЛИЯФ-151. Л., 1975. 16 с.
- [8] *Габриелян К.Т., Чуховский Ф.Н., Пинскер З.Г.* // ЖТФ. 1980. Т. 50. Вып. 8. С. 1641–1646.
- [9] *Сумбаев О.И., Лапин Е.Г.* // ЖЭТФ. 1980. Т. 78. Вып. 2. С. 802–812.
- [10] *Григорьев Б.В., Иванов Ю.М., Денисов С.А.* и др. Кристалл-дифракционный спектрометр по Кошуа для изучения рентгеновского излучения пионных атомов на синхротронном ЛИЯФ. Препринт ЛИЯФ-1232. Л., 1986. 50 с.
- [11] *André J.M., Kefi M., Avila A., Couillaux P., Bonnelle C.* // Rev. Sci. Instr. 1987. Vol. 58. P. 374–378.
- [12] *Verma B.S., Serikov I.V.* // X-Ray Spectrometry. 1990. Vol. 19. Iss. 3. P. 129–132.
- [13] *Deshpande S.D., Moghe N.V., Sapre V.B., Mande C.* // Meas. Sci. Technol. 1990. Vol. 1. P. 1250–1253.
- [14] *Badura E., Besch H.J., Beyer H.F.* et al. A Transmission-Type Crystal Spectrometer for Fast-Beam Spectroscopy. Scientific report JB-Tech-97. 1997.
- [15] *Baronova E.O., Stepanenko M.M.* // Nukleonika. 2001. Vol. 46. Suppl. 1. P. S53–S56.
- [16] *Baronova E.O., Stepanenko M.M., Lider V.V., Pereira N.R.* // Proc. Workshop on Curved Crystals. Weimar, Germany, 1964.
- [17] *Баронова Е.О., Степаненко М.М.* // Прикладная физика. 2001. № 2. С. 106–111.
- [18] *Baronova E.O., Stepanenko M.M., Pereira N.R.* // Rev. Sci. Instr. 2001. Vol. 72(2). P. 1416–1420.

- [19] *Hiraoka N., Itou M., Ohata T., Mizumaki M., Sakurai Y., Sakai N.* // J. Synchr. Rad. 2001. Vol. 8. P. 26–32.
- [20] *Alexeev V.L., Rumiantsev V.L.* // Proc. 11th Int. Symp. on Capture Gamma-Ray Spectroscopy and Related Topics / Ed. by J. Kvasil, P. Sejnar, M. Kricka. World Scientific, 2003. P. 625–628.
- [21] *Alexeev V.L., Rumiantsev V.L.* Modernization of the Crystal Diffraction Gamma-Spectrometer GSK-2. Preprint PNPI-2523. Gatchina, 2003. P. 25.
- [22] *Алексеев В.Л., Румянцев В.Л.* // Изв. РАН. Сер. Физ. 2004. Т. 68. № 8. С. 1080.
- [23] *Алексеев В.Л., Румянцев В.Л., Федоров В.В.* Измерения гамма-спектра активной зоны реактора на кристалл-дифракционном гамма-спектрометре ГСК-2М. Препринт ПИЯФ-2605. Гатчина, 2005. 35 с.